

Расчет круговой цилиндрической оболочки по моментной теории с учетом ползучести

А.С. Чепурненко, А.В. Сайбель, А.А. Савченко

Донской государственный технический университет, Ростов-на-Дону

Аннотация: В статье приведены общие уравнения моментной теории круговой цилиндрической оболочки с учетом ползучести: статические, геометрические и физические. Решена задача определения напряженно-деформированного состояния оболочки, жестко защемленной в основании, при действии на нее внутреннего гидростатического давления. Задача свелась к линейному неоднородному дифференциальному уравнению четвертого порядка относительно прогиба. Решение выполнялось численно методом конечных разностей в программном комплексе Matlab. В качестве закона связи между деформациями ползучести и напряжениями использовалось обобщенное нелинейное уравнение Максвелла-Гуревича. Для определения деформаций ползучести применялась линейная аппроксимация первой производной по времени. Произведен расчет оболочки из вторичного ПВХ, и в результате установлено, что в процессе ползучести в оболочке на 15% возрастают окружные напряжения.

Ключевые слова: цилиндрическая оболочка, ползучесть, моментная теория, полимеры, метод конечных разностей.

Рассматривается тонкая цилиндрическая оболочка постоянной толщины, жестко защемленная в основании, под действием гидростатического давления (рис. 1). Данная задача является осесимметричной, однако для начала получим общие уравнения ползучести круговой цилиндрической оболочки при ее произвольном нагружении.

При учете ползучести уравнения равновесия, а также геометрические уравнения по сравнению с теорией тонких упругих оболочек не претерпевают изменений. Статическая сторона задачи представлена тремя уравнениями равновесия [1]:

$$\begin{aligned} \frac{\partial N_x}{\partial x} + \frac{1}{R} \frac{\partial S}{\partial \theta} + X_v &= 0; \\ \frac{\partial S}{\partial x} + \frac{1}{R} \frac{\partial N_\theta}{\partial \theta} + \frac{1}{R^2} \frac{\partial M_\theta}{\partial \theta} + \frac{1}{R} \frac{\partial H}{\partial x} + Y_v &= 0; \\ \frac{\partial^2 M_x}{\partial x^2} + \frac{1}{R^2} \frac{\partial^2 M_\theta}{\partial \theta^2} - \frac{N_\theta}{R} + \frac{2}{R} \frac{\partial^2 H}{\partial x \partial \theta} + Z_v &= 0. \end{aligned} \quad (1)$$

где N_x, N_θ – продольные силы; S – сдвигающая сила; M_x, M_θ – изгибающие моменты; H – крутящий момент; X_v, Y_v, Z_v – компоненты поверхностной нагрузки.

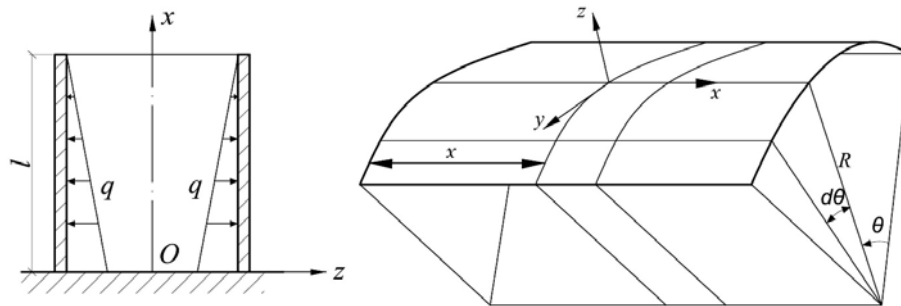


Рис. 1. – Цилиндрическая оболочка под действием гидростатического давления

Геометрические уравнения записываются в виде [1]:

$$\varepsilon_x = \varepsilon_x^0 + z\chi_x; \quad \varepsilon_\theta = \varepsilon_\theta^0 + z\chi_\theta; \quad \gamma_{x\theta} = \gamma_{x\theta}^0 + 2z\chi_{x\theta}, \quad (2)$$

где $\chi_x = -\frac{\partial^2 w}{\partial x^2}, \chi_\theta = \frac{1}{R^2} \left(\frac{\partial v_0}{\partial \theta} - \frac{\partial^2 w}{\partial \theta^2} \right), \chi_{x\theta} = \frac{1}{R} \left(-\frac{\partial^2 w}{\partial x \partial \theta} + \frac{1}{2} \frac{\partial v_0}{\partial \theta} \right)$ – изменения

кривизн; $\varepsilon_x^0 = \frac{\partial u_0}{\partial x}, \varepsilon_\theta^0 = \frac{1}{R} \left(\frac{\partial v_0}{\partial \theta} + w \right), \gamma_{x\theta}^0 = \frac{1}{R} \frac{\partial u_0}{\partial \theta} + \frac{\partial v_0}{\partial x}$ – деформации срединной

поверхности; u_0, v_0, w – перемещения срединной поверхности соответственно в направлениях x, θ, z .

Физические уравнения с учетом ползучести записываются в виде [2,3]:

$$\varepsilon_x = \frac{1}{E} (\sigma_x - \nu \sigma_\theta) + \varepsilon_x^*; \quad \varepsilon_\theta = \frac{1}{E} (\sigma_\theta - \nu \sigma_x) + \varepsilon_\theta^*; \quad \gamma_{x\theta} = \frac{\tau_{x\theta}}{G} + \gamma_{x\theta}^*, \quad (3)$$

где $\varepsilon_x^*, \varepsilon_\theta^*, \gamma_{x\theta}^*$ – деформации ползучести.

Выразим из (3) напряжения через деформации:

$$\begin{aligned}\sigma_x &= \frac{E}{1-\nu^2} \left(\varepsilon_x + \nu \varepsilon_\theta - (\varepsilon_x^* + \nu \varepsilon_\theta^*) \right) = \frac{E}{1-\nu^2} \left(\varepsilon_x^0 + \nu \varepsilon_\theta^0 + z(\chi_x + \nu \chi_\theta) - (\varepsilon_x^* + \nu \varepsilon_\theta^*) \right); \\ \sigma_\theta &= \frac{E}{1-\nu^2} \left(\varepsilon_\theta + \nu \varepsilon_x - (\varepsilon_\theta^* + \nu \varepsilon_x^*) \right) = \frac{E}{1-\nu^2} \left(\varepsilon_\theta^0 + \nu \varepsilon_x^0 + z(\chi_\theta + \nu \chi_x) - (\varepsilon_\theta^* + \nu \varepsilon_x^*) \right); \\ \tau_{x\theta} &= G(\gamma_{x\theta} - \gamma_{x\theta}^*) = \frac{E}{2(1+\nu)} (\gamma_{x\theta}^0 + 2z\chi_{x\theta} - \gamma_{x\theta}^*).\end{aligned}\quad (4)$$

Продольные и сдвигающая силы записываются в виде:

$$\begin{aligned}N_x &= \int_{-h/2}^{h/2} \sigma_x dz = \frac{Eh}{1-\nu^2} (\varepsilon_x^0 + \nu \varepsilon_\theta^0) - N_x^*; \\ N_\theta &= \int_{-h/2}^{h/2} \sigma_\theta dz = \frac{Eh}{1-\nu^2} (\varepsilon_\theta^0 + \nu \varepsilon_x^0) - N_\theta^*; \\ S &= \int_{-h/2}^{h/2} \tau_{x\theta} dz = \frac{Eh}{2(1+\nu)} \gamma_{x\theta}^0 - S^*,\end{aligned}\quad (5)$$

$$\text{где } N_x^* = \frac{E}{1-\nu^2} \int_{-h/2}^{h/2} (\varepsilon_x^* + \nu \varepsilon_\theta^*) dz, \quad N_\theta^* = \frac{E}{1-\nu^2} \int_{-h/2}^{h/2} (\varepsilon_\theta^* + \nu \varepsilon_x^*) dz, \quad S^* = \frac{E}{2(1+\nu)} \int_{-h/2}^{h/2} \gamma_{x\theta}^* dz.$$

Изгибающие и крутящий момент определяются следующим образом:

$$\begin{aligned}M_x &= \int_{-h/2}^{h/2} \sigma_x z dz = D(\chi_x + \nu \chi_\theta) - M_x^*; \\ M_\theta &= \int_{-h/2}^{h/2} \sigma_\theta z dz = D(\chi_\theta + \nu \chi_x) - M_\theta^*; \\ H &= \int_{-h/2}^{h/2} \tau_{x\theta} z dz = D(1-\nu)\chi_{x\theta} - H^*,\end{aligned}\quad (6)$$

$$\text{где } M_x^* = \frac{E}{1-\nu^2} \int_{-h/2}^{h/2} (\varepsilon_x^* + \nu \varepsilon_\theta^*) z dz, \quad M_\theta^* = \frac{E}{1-\nu^2} \int_{-h/2}^{h/2} (\varepsilon_\theta^* + \nu \varepsilon_x^*) z dz, \quad D = \frac{Eh^3}{12(1-\nu^2)} -$$

$$\text{цилиндрическая жесткость, } H^* = \frac{E}{2(1+\nu)} \int_{-h/2}^{h/2} \gamma_{x\theta}^* z dz.$$

В общем случае задача определения напряженно-деформированного состояния круговой цилиндрической оболочки сводится к системе из 15

уравнений с 15 неизвестными, решение которой связано с большими математическими трудностями.

Перейдем к расчету с учетом ползучести осесимметрично нагруженной оболочки, показанной на рисунке 1. Ввиду симметрии сдвигающее усилие S и крутящий момент H обращаются в нуль. Из составляющих поверхностных нагрузок отлична от нуля только одна: $Z_v = q = \gamma(l - x)$, где γ – удельный вес жидкости. Уравнения равновесия (1) с учетом осевой симметрии принимают вид:

$$\frac{dN_x}{dx} = 0; \quad \frac{d^2M_x}{dx^2} - \frac{N_\theta}{R} + q = 0. \quad (7)$$

Выражения для изгибающего момента и продольных сил запишутся в виде:

$$\begin{aligned} N_x &= \frac{Eh}{1-\nu^2} \left(\frac{du_0}{dx} + \nu \frac{w}{R} \right) - N_x^* = 0; \\ N_\theta &= \frac{Eh}{1-\nu^2} \left(\frac{w}{R} + \nu \frac{du_0}{dx} \right) - N_\theta^*; \\ M_x &= -D \frac{d^2w}{dx^2} - M_x^*. \end{aligned} \quad (8)$$

Выразим из первого уравнения (8) величину $\frac{du_0}{dx}$:

$$\frac{du_0}{dx} = -\frac{\nu w}{R} + \frac{1-\nu^2}{Eh} N_x^*. \quad (9)$$

Подставив (9) во второе уравнение (8), получим:

$$N_\theta = \frac{Ehw}{R} + \nu N_x^* - N_\theta^*. \quad (10)$$

Далее, подставляя (10) и третье равенство из (8) во второе уравнение (7), получим основное разрешающее уравнение:

$$D \frac{d^4w}{dx^4} + \frac{Ehw}{R^2} = q - \frac{d^2M_x^*}{dx^2} + \frac{1}{R} (N_\theta^* - \nu N_x^*). \quad (11)$$

Граничные условия имеют вид:

$$\begin{aligned} \text{При } x = 0: w = 0, \frac{dw}{dx} = 0; \\ \text{При } x = h: M_x = -D \frac{d^2 w}{dx^2} - M_x^* = 0, \quad Q_x = \frac{dM_x}{dx} = -D \frac{d^3 w}{dx^3} - \frac{dM_x^*}{dx} = 0. \end{aligned} \quad (12)$$

Уравнение (11) решается численно методом конечных разностей. Методика определения деформаций ползучести приводится в работах [4-8].

Был выполнен расчет полимерного резервуара из вторичного ПВХ $h = 3$ см, $l = 3$ м, $R = 2$ м, $\gamma = 10$ кН / м³, $E = 1480$ МПа, $\nu = 0.3$. В качестве закона ползучести использовалось нелинейное уравнение Максвелла-Гуревича [9]. Реологические параметры ПВХ при температуре 20°C: модуль высокоэластичности $E_\infty = 5990$ МПа, модуль скорости $m^* = 12.6$ МПа, начальная релаксационная вязкость $\eta_0^* = 9.06 \cdot 10^5$ МПа · мин [10].

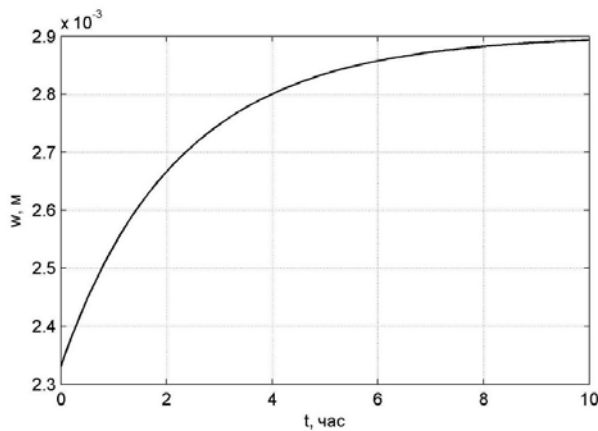


Рис. 2. – График роста максимального прогиба

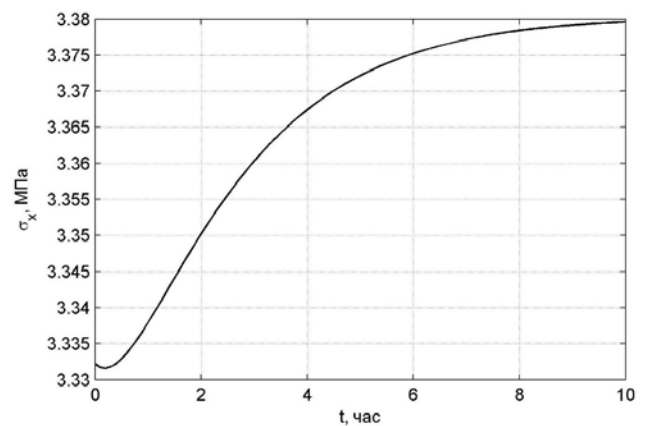


Рис. 3. – Изменение напряжений σ_x во времени

На рис. 2 представлен график изменения во времени максимальной величины прогиба. В процессе ползучести произошло увеличение максимального прогиба на 24%. На рис. 3-4 приведено соответственно изменение напряжений σ_x и σ_θ в основании при $z = -h/2$. Из представленных графиков видно, что напряжения σ_x остаются практически постоянными, а напряжения σ_θ выросли на 15%.

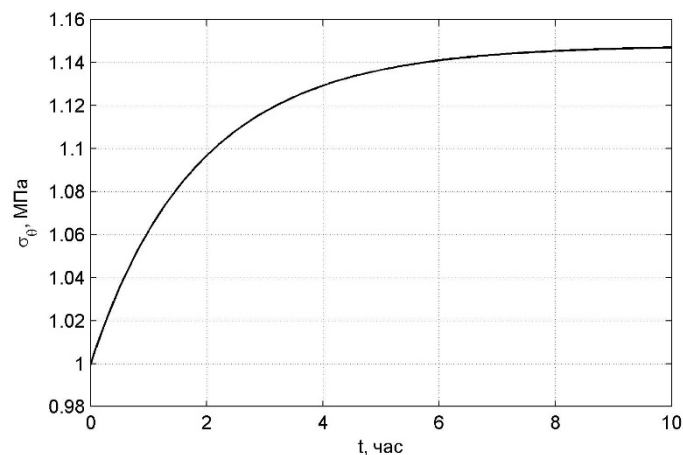


Рис. 4. – Изменение напряжений σ_θ во времени

Таким образом, расчет оболочки только в упругой стадии приводит к заниженным значениям напряжений, и как следствие возможно ее разрушению в процессе эксплуатации.

Литература

1. Самуль В.И. Основы теории упругости и пластичности. М.: Высшая школа, 1982. 264 с.
2. Дудник А.Е., Чепурненко А.С., Никора Н.И., Денего А.С. Плоское деформированное состояние полимерного цилиндра в условиях термовязкоупругости // Инженерный вестник Дона, 2015, №2 URL: ivdon.ru/ru/magazine/archive/n2p2y2015/3063.
3. Andreev V.I., Yazyev V.M., Chepurnenko A.S. On the bending of a thin polymer plate at nonlinear creep // Advanced Materials Research. 2014.Vol. 900. pp. 707-710.
4. Andreev V.I., Chepurnenko A.S., Yazyev V.M. Energy method in the calculation stability of compressed polymer rods considering creep // Advanced Materials Research. 2014. Vol. 1004-1005. pp. 257-260.
5. Языев Б.М., Чепурненко А.С., Литвинов С.В., Козельская М.Ю. Напряженно-деформированное состояние предварительно напряженного

железобетонного цилиндра с учетом ползучести бетона // Научное обозрение. 2014. № 11. С. 759-763.

6. Козельская М.Ю., Чепурненко А.С., Литвинов С.В. Применение метода Галёркина при расчете на устойчивость сжатых стержней с учетом ползучести // Инженерный вестник Дона, 2013, №2 URL: ivdon.ru/ru/magazine/archive/n2y2013/1714.

7. Юхнов И.В., Языев Б.М., Чепурненко А.С., Литвинов С.В. Продольный изгиб гибкой железобетонной стойки при нелинейной ползучести // Современные проблемы науки и образования. 2014. № 5. С. 182.

8. Чепурненко А.С., Юхнов И.В., Аваков А.А., Никора Н.И. Устойчивость дюралюминиевой арки при высокотемпературной ползучести // Научное обозрение. 2014. № 10-2. С. 406-410.

9. Chepurnenko A.S., Yazyev B.M., Savchenko A.A. Calculation for the circular plate on creep considering geometric nonlinearity // Procedia Engineering. 2016. Vol. 150. pp. 1680–1685.

10. Chepurnenko A.S., Andreev V.I., Beskopylny A.N., Jazyev B.M. Determination of Rheological Parameters of Polyvinylchloride at Different Temperatures // MATEC Web of Conferences. 2016. URL: matec-conferences.org/articles/matecconf/pdf/2016/30/matecconf_smae2016_06059.pdf.

References

1. Samul' V.I. Osnovy teorii uprugosti i plastichnosti [Fundamentals of the theory of elasticity and plasticity]. M.: Vysshaya shkola, 1982. 264 p.

2. Dudnik A.E., Chepurnenko A.S., Nikora N.I., Denego A.S. Inženernyj vestnik Dona (Rus). 2015. № 2. URL: ivdon.ru/ru/magazine/archive/n2p2y2015/3063.

3. Andreev V.I., Yazyev B.M., Chepurnenko A.S. On the bending of a thin polymer plate at nonlinear creep. Advanced Materials Research. 2014. Vol. 900. pp. 707-710.



4. Andreev V.I., Chepurnenko A.S., Yazyev B.M. Energy method in the calculation stability of compressed polymer rods considering creep. *Advanced Materials Research*. 2014. Vol. 1004-1005. pp. 257-260.
5. Yazyev B.M., Chepurnenko A.S., Litvinov S.V., Kozel'skaya M.Yu. *Nauchnoe obozrenie*. 2014. № 11. pp. 759-763.
6. Kozel'skaya M.Yu., Chepurnenko A.S., Litvinov S.V. *Inzhenernyj vestnik Dona (Rus)*. 2013. № 2. URL: ivdon.ru/ru/magazine/archive/n2y2013/1714.
7. Yukhnov I.V., Yazyev B.M., Chepurnenko A.S., Litvinov S.V. *Sovremennyye problemy nauki i obrazovaniya*. 2014. № 5. p. 182.
8. Chepurnenko A.S., Yukhnov I.V., Avakov A.A., Nikora N.I. *Nauchnoe obozrenie*. 2014. № 10-2. pp. 406-410.
9. Chepurnenko A.S., Yazyev B.M., Savchenko A.A. Calculation for the circular plate on creep considering geometric nonlinearity. *Procedia Engineering*. 2016. Vol. 150. pp. 1680–1685.
10. Chepurnenko A.S., Andreev V.I., Beskopylny A.N., Jazyev B.M. Determination of Rheological Parameters of Polyvinylchloride at Different Temperatures. *MATEC Web of Conferences*. 2016. URL: matec-conferences.org/articles/matecconf/pdf/2016/30/matecconf_smae2016_06059.pdf.